

Zaawansowane Metody Klasyfikacji i Analiza Skupień

Eksploracja danych - Lista nr 4

Ksawery Józefowski, 277513

2025-06-14

Spis treści

1 Zadanie nr 1	2
1.1 Wprowadzenie	2
1.2 Rodziny klasyfikatorów/uczenie zespołowe	2
1.3 Metoda wektorów nośnych (SVM)	5
1.4 Wniosek	8
2 Zadanie 2	9
2.1 Wprowadzenie	9
2.2 Wybór i przygotowanie danych	9
2.3 Macierz odmiенноści	10
2.4 Metoda PAM	11
2.5 Algorytm AGNES	13
2.6 Ocena jakości grupowania	15
2.7 Interpretacja wyników grupowania	17
2.8 Podsumowanie	20

1 Zadanie nr 1

1.1 Wprowadzenie

Celem analizy jest zastosowanie i ocena skuteczności zaawansowanych metod klasyfikacji **random forest** i **bagging**, jak i test algorytmu **SVM** do budowy klasyfikatorów bazujących na różnych jądrach.

1.2 Rodziny klasyfikatorów/uczenie zespołowe

Tabela 1: Macierz pomyłek Bagging

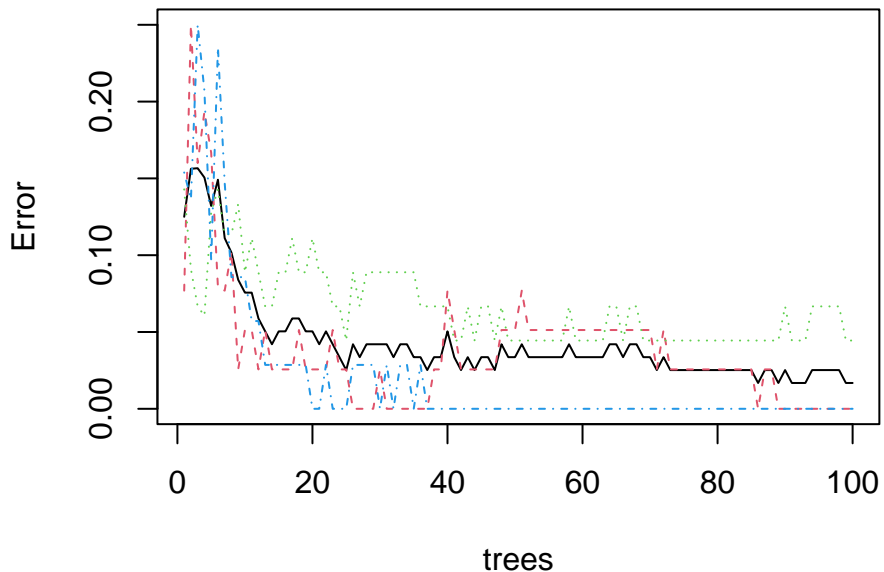
1	2	3
20	0	0
1	25	0
0	1	12

```
## [1] "Błąd klasyfikacji Bagging: 0.034"
```

Tabela 2: Macierz pomyłek Random Forest

1	2	3
20	0	0
0	26	0
0	0	13

```
## [1] "Błąd klasyfikacji Random Forest: 0"
```



Rysunek 1: Wykres błędu Random Forest

```
## [1] "Błąd drzewa: 0.121"  
## [1] "Błąd baggingu: 0.065"  
## [1] "Błąd random forest: 0.02"  
## [1] "Redukcja błędu (bagging): 46.15 %"  
## [1] "Redukcja błędu (random forest): 83.13 %"
```

W przeprowadzonym porównaniu metod klasifykacyjnych na zbiorze danych `wine` zastosowano trzy podejścia: pojedyncze drzewo decyzyjne jako klasifikator bazowy, oraz dwie metody zespołowe, `bagging` oraz `random forest`. Wyniki klasifikacji wskazują jednoznacznie, że metody zespołowe pozwalają na istotne zwiększenie dokładności predykcji. Dla pojedynczego drzewa decyzyjnego błąd klasifikacji wyniósł około 12.1%. Po zastosowaniu algorytmu `bagging` błąd ten spadł do około 6.5%, co oznacza względną redukcję błędu klasifikacji o ponad 46%. Jeszcze większą poprawę zaobserwowano przy użyciu `random forest`, błąd klasifikacji spadł do około 2%, co odpowiada redukcji błędu o ponad 83% w stosunku do klasifikatora bazowego.

Zarówno w oparciu o bezpośrednią ocenę klasifikacji na zbiorze testowym (macierz pomyłek), jak i na podstawie bardziej zaawansowanej metody walidacyjnej `.632+`, metody zespołowe wykazały się wyraźnie lepszą skutecznością. `Random forest` przewyższył skutecznością `bagging`, co wynika z faktu, że dodatkowe losowanie zmiennych na etapie konstrukcji pojedynczych drzew wprowadza większą różnorodność modeli bazowych, a tym samym zwiększa ogólną zdolność klasifykacyjną zespołu.

Można więc jednoznacznie stwierdzić, że zastosowanie klasifikatorów zespołowych prowadzi do *istotnej* redukcji błędu klasifikacji w porównaniu do pojedynczego drzewa decyzyjnego.

1.3 Metoda wektorów nośnych (SVM)

Porównamy skuteczność modeli SVM z różnymi funkcjami jądrowymi:

- Jądro liniowe (kernel=“linear”)
- Jądro wielomianowe (kernel=“polynomial”)
- Jądro radialne (RBF) (kernel=“radial”)

1.3.1 Jądro liniowe z różnymi wartościami C

Tabela 3: Macierz pomyłek SVM jądro liniowe (C=0.1)

1	2	3
20	0	0
0	26	0
0	0	13

```
## [1] "Dokładność (C=0.1): 1"
```

Tabela 4: Macierz pomyłek SVM jądro liniowe (C=1)

1	2	3
20	0	0
0	26	0
0	1	12

```
## [1] "Dokładność (C=1): 0.983050847457627"
```

Tabela 5: Macierz pomyłek SVM jądro liniowe (C=10)

1	2	3
20	0	0
0	26	0
0	1	12

```
## [1] "Dokładność (C=10): 0.983050847457627"
```

Na podstawie uzyskanych wyników można zaobserwować wyraźny wpływ wyboru wartości parametru C na skuteczność klasyfikacji metodą SVM. W przypadku jądra liniowego widzimy, że zmiana parametru C ma istotne znaczenie dla dokładności modelu. Dla niskiej wartości C=0.1 osiągnęliśmy perfekcyjną dokładność na poziomie 100%, podczas gdy zwiększenie wartości C do 1 i 10 spowodowało nieznaczny spadek dokładności do około 98.3%. Sugeruje to, że w tym konkretnym przypadku mniejsza wartość parametru C, odpowiadająca szerszemu marginesowi decyzyjnemu, lepiej radzi sobie z ogólnymi właściwościami danych.

1.3.2 Porównanie różnych jąder

Tabela 6: Macierz pomyłek: SVM jądro wielomianowe (stopień 2)

1	2	3
19	1	0
0	25	1
1	0	12

```
## [1] "Dokładność (wielomian stopnia 2): 0.949152542372881"
```

Tabela 7: Macierz pomyłek: SVM jądro radialne (RBF)

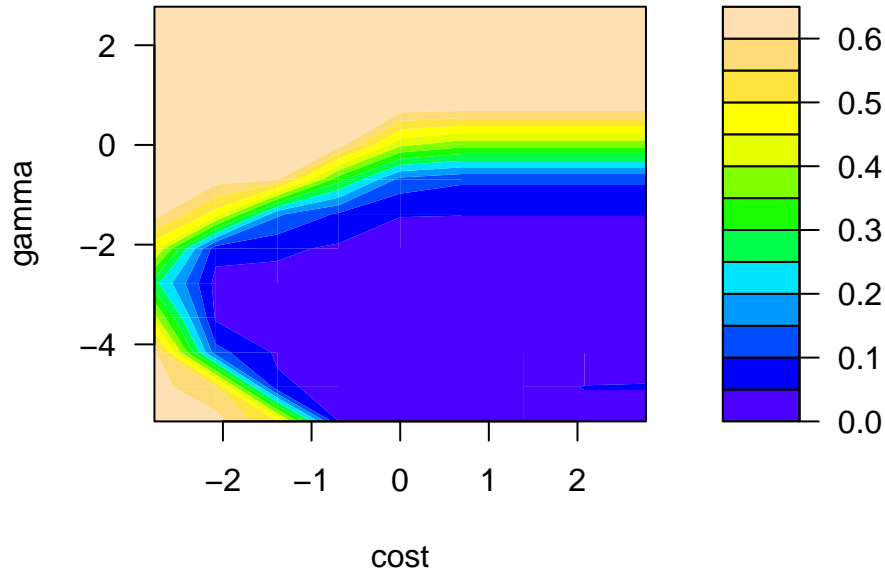
1	2	3
20	0	0
0	26	0
0	0	13

```
## [1] "Dokładność (radialne RBF): 1"
```

Porównując różne funkcje jądrowe, wyraźnie widać różnice w osiąganej dokładności. Jądro liniowe i radialne dały najlepsze wyniki (100% dokładności), podczas gdy jądro wielomianowe stopnia drugiego osiągnęło nieco niższą dokładność na poziomie około 94.9%. Ta różnica pokazuje, że wybór funkcji jądrowej ma kluczowe znaczenie dla skuteczności klasyfikacji. W tym przypadku zarówno proste jądro liniowe, jak i bardziej złożone jądro radialne doskonale poradziły sobie z separacją klas, podczas gdy jądro wielomianowe okazało się nieco mniej efektywne.

Warto zauważyc, że doskonałe wyniki osiągnięte przez jądro liniowe mogą sugerować, że klasy w zbiorze danych `wine` są liniowo separowalne lub prawie liniowo separowalne w przestrzeni cech. Fakt, że jądro radialne również osiągnęło 100% dokładność, potwierdza jego elastyczność i zdolność do dopasowania się do różnych struktur danych, chociaż w tym konkretnym przypadku nie było to konieczne, skoro prostsze jądro liniowe dało równie dobre wyniki.

1.3.3 Dostrojone jądro radialne



Rysunek 2: Wydajność SVM

```
##      cost      gamma
## 15      2 0.0078125
```

Tabela 8: Macierz pomyłek: SVM jądro radialne (dostrojone)

	1	2	3
1	20	0	0
2	0	26	0
3	0	0	13

```
## [1] "Dokładność (domyślne RBF): 1"
## [1] "Dokładność (dostrojone RBF): 1"
```

Na podstawie przedstawionych wyników można stwierdzić, że zarówno model SVM z domyślnymi parametrami, jak i model z optymalnie dobranymi parametrami osiągnęły identyczną, perfekcyjną dokładność klasyfikacji na poziomie 100%. Macierze pomyłek dla obu wersji modelu pokazują, że wszystkie próbki ze zbioru testowego zostały poprawnie zaklasyfikowane, bez żadnych błędów.

Proces strojenia parametrów, mimo że zidentyfikował optymalne wartości parametrów (`cost` = 2, `gamma` = 0.0078125), nie przyniósł poprawy w skuteczności klasyfikacji w porównaniu z modelem wykorzystującym domyślne ustawienia. Wykres procesu strojenia sugeruje, że obszar optymalnych parametrów jest stosunkowo płaski, co oznacza, że podobną dokładność można osiągnąć przy różnych kombinacjach wartości `cost` i `gamma`.

Wnioskując, w tym konkretnym przypadku optymalizacja parametrów nie poprawiła skuteczności klasyfikatora, ponieważ model z domyślnymi ustawieniami już osiągał maksymalną możliwą dokładność. Może to wynikać z faktu, że zbiór danych wine jest stosunkowo dobrze separowalny, a proste modele radzą sobie z nim doskonale nawet bez specjalnego dostrajania parametrów.

1.4 Wniosek

Porównując skuteczność metod z punktu a) i b), można stwierdzić, że zarówno metody zespołowe (`bagging` i `random forest`), jak i SVM osiągnęły bardzo wysoką dokładność klasyfikacji. `Random forest` bazując na metodzie walidacyjnej .632+ uzyskał prawie perfekcyjny wynik. SVM z jądrem liniowym i radialnym sklasyfikował wszystkie próbki poprawnie. `Bagging` wypadł nieco gorzej, ale i tak znacznie lepiej niż pojedyncze drzewo decyzyjne.

W przypadku SVM widoczny był wpływ wyboru jądra i parametru C na skuteczność, jądro liniowe i radialne okazały się lepsze niż wielomianowe, a niższe wartości C w niektórych przypadkach dawały lepsze wyniki. Strojenie parametrów dla jądra radialnego nie poprawiło wyników, ponieważ już domyślne ustawienia dawały perfekcyjną klasyfikację.

Podsumowując, SVM z odpowiednim jądrem to najskuteczniejsza i najlepiej dopasowana metoda klasyfikacji dla tego zbioru danych.

2 Zadanie 2

2.1 Wprowadzenie

Celem zadania jest zastosowanie algorytmów analizy skupień - PAM i AGNES oraz ocena i porównanie jakości grupowania.

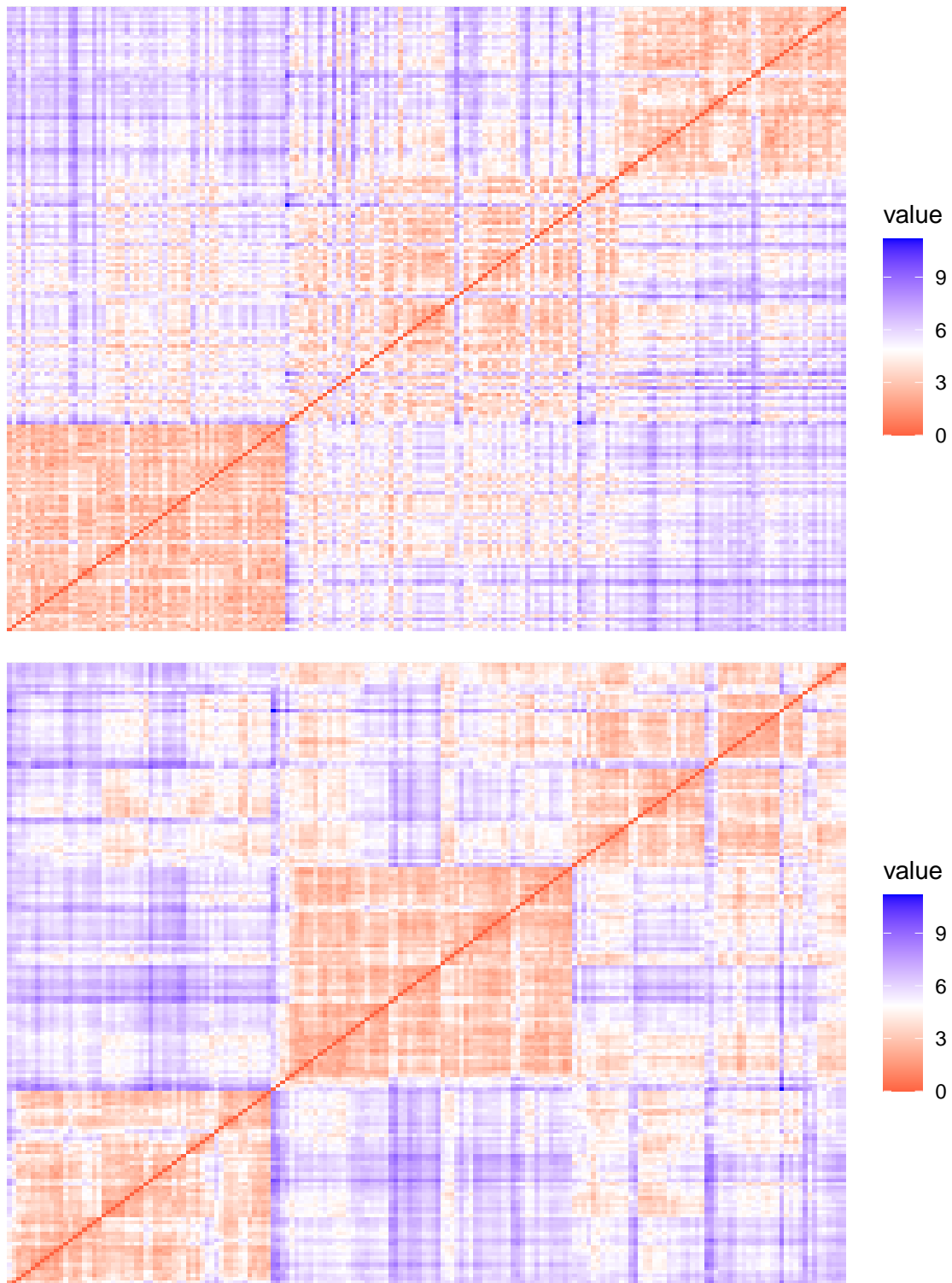
2.2 Wybór i przygotowanie danych

Do analizy wybieramy zbiór `wine`, który zawiera 178 rekordów. Jest to liczba mniejsza niż 200, więc nie będzie potrzeby tworzenia podzbioru. W zbiorze znajdują się zmienne z małymi i dużymi zakresami wartościowymi, więc zostanie zastosowana standaryzacja danych.

Tabela 9: Head zbioru wine

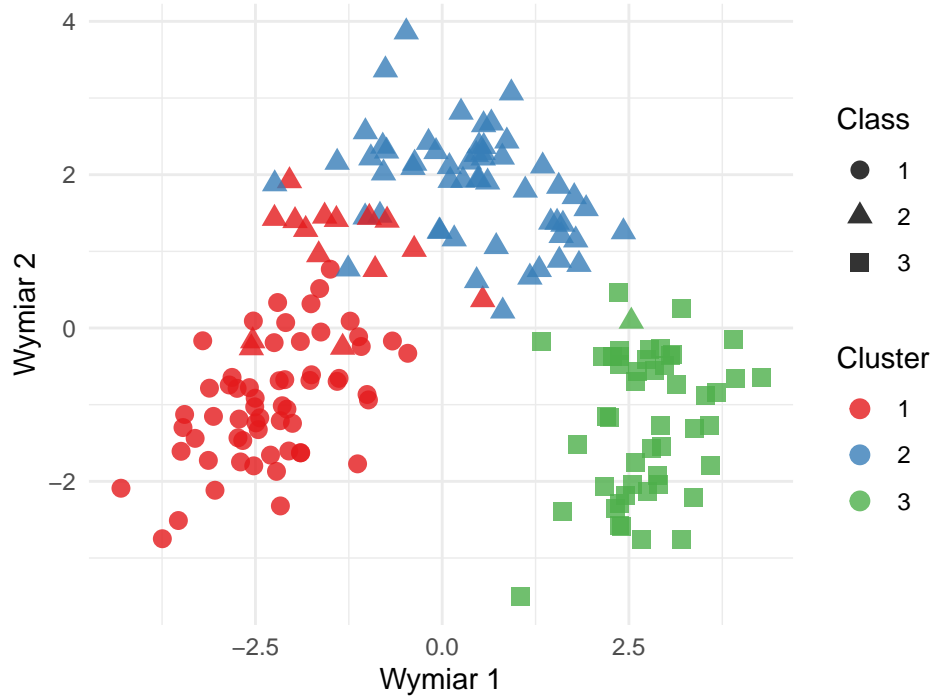
class	V1	V2	V3	V4	V5	V6	V7	V8	V9	V10	V11	V12	V13
1	14	2	2	16	127	3	3	0	2	6	1	4	1065
1	13	2	2	11	100	3	3	0	1	4	1	3	1050
1	13	2	3	19	101	3	3	0	3	6	1	3	1185
1	14	2	2	17	113	4	3	0	2	8	1	3	1480
1	13	3	3	21	118	3	3	0	2	4	1	3	735
1	14	2	2	15	112	3	3	0	2	7	1	3	1450

2.3 Macierz odmienności



Rysunek 3: Macierze odmienności, odpowiednio order FALSE i order TRUE

2.4 Metoda PAM



Rysunek 4: Skupienia metodą PAM na przestrzeni MDS

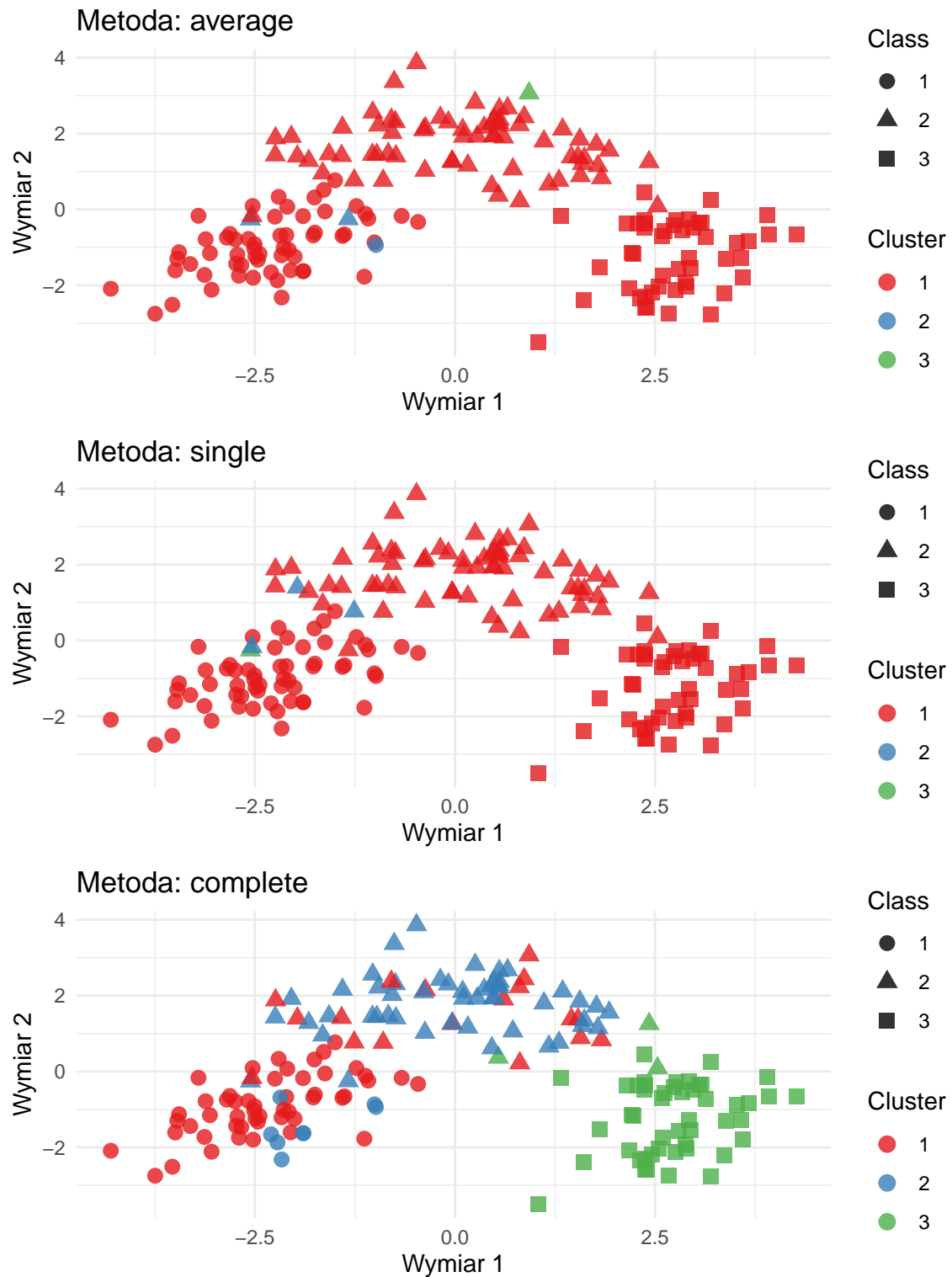
W tym przypadku zastosowano metodę MDS, aby przedstawić dane wielowymiarowe na dwuwymiarowym wykresie rozrzutu. Ponieważ dane po skalowaniu mają aż 13 cech liczbowych, bez redukcji wymiaru ich bezpośrednia wizualizacja byłaby niemożliwa. W tym przypadku użycie MDS jest możliwe, ponieważ dane są ciągłe, numeryczne i przeskalowane, dzięki czemu odległość euklidesowa dobrze oddaje podobieństwa między obiektami. Zbiór zawiera stosunkowo niewielką liczbę obserwacji (178), co pozwala MDS efektywnie odwzorować relacje między nimi bez dużej utraty informacji.

Na podstawie wykresu przedstawiającego wyniki grupowania metodą PAM w przestrzeni dwuwymiarowej, można sformułować kilka istotnych obserwacji dotyczących własności otrzymanych skupień oraz ich zgodności z rzeczywistym podziałem na klasy.

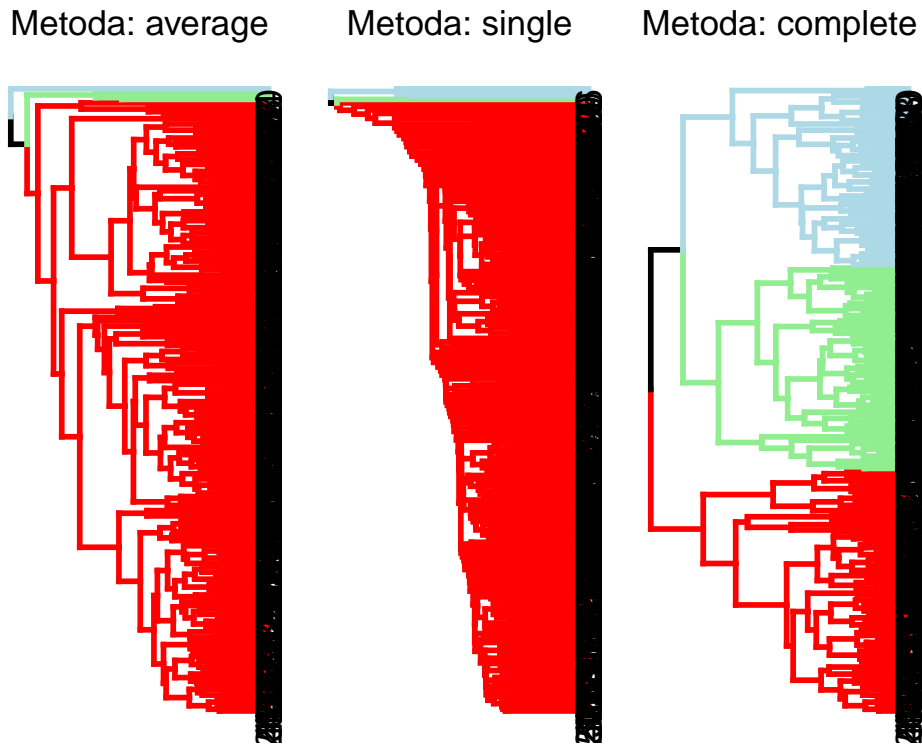
Po pierwsze, skupienia wykazują bardzo dobrą separację. Obiekty należące do różnych klastrów tworzą wyraźnie odseparowane grupy w przestrzeni dwuwymiarowej. Szczególnie widoczna jest granica między klastrem czerwonym i zielonym. Taka wyraźna separacja wskazuje, że metoda PAM skutecznie rozpoznała strukturę skupień w danych. Dodatkowo skupienia są zwarte, obiekty w ramach każdego klastra są do siebie blisko rozmieszczone, co świadczy o ich jednorodności i wewnętrznej spójności.

Jeśli chodzi o zgodność uzyskanych skupień z rzeczywistym podziałem na klasy, to jest ona dobra, ale nie idealna. Klasa 1 w całości odpowiada klastrowi czerwonymu, klasa 2 jest w większości przypisana do klastra niebieskiego, ale zauważalne są obserwacje odstające przypisane, też do innych klastrów. Klasa 3 w całości została przypisana do klastra zielonego. Oznacza to, że metoda PAM przy liczbie klastrów równej trzy dobrze odwzorowała rzeczywisty podział na klasy 1 i 3, lecz miała problemy z klasą 2. Sugeruje to, że algorytm nie był w stanie jednoznacznie przypisać tej klasy do jednego skupienia.

2.5 Algorytm AGNES



Rysunek 5: Skupienia algorytmem AGNES na przestrzeni MDS dla różnych metod



Rysunek 6: Dendogramy różnych metod AGNES

Podobnie jak w poprzednim przypadku została zastosowana MDS do redukcji wymiaru. Analizując zarówno wykresy, jak i dendrogramy przedstawiające wyniki grupowania hierarchicznego algorytmem AGNES dla metod `average`, `single` oraz `complete` na zbiorze danych `wine`, można zauważać istotne różnice w podstawowych właściwościach otrzymanych skupień.

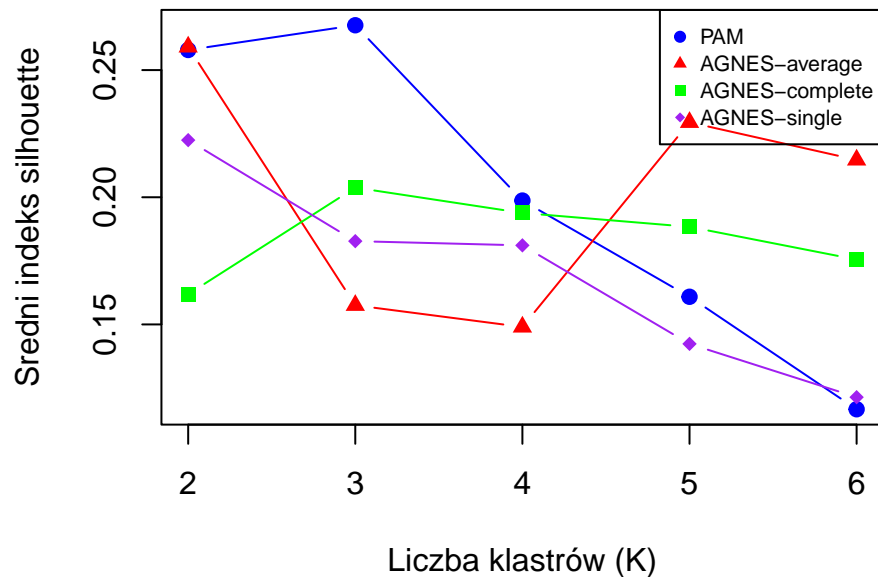
Metoda `average` polega na obliczaniu średniej odległości między wszystkimi parami punktów należącymi do różnych skupień. Na wykresach i dendrogramach widać, że większość obiektów została przypisana do jednego dużego klastra, przez co jednorodność i separacja między klastrami są ograniczone. Powoduje to niewielką zgodność wynikowych klastrów z rzeczywistą przynależnością obiektów do klas, co oznacza, że ta metoda nie odtwarza w pełni struktury klas obecnych w danych.

Metoda `single` definiuje odległość pomiędzy skupieniami jako najmniejszą odległość między dowolną parą punktów, po jednej z każdego skupienia. Skutkuje to efektem „łaćuchowania”, czyli łączeniem skupień jedno po drugim na podstawie pojedynczych bliskich sobie punktów. Dendrogram dla tej metody jest najbardziej rozciągnięty, a wykresy pokazują, że niemal wszystkie obiekty również trafiają do jednego dużego klastra. Takie skupienia są mało zwarte, mają rozmyte granice, są bardzo wrażliwe na pojedyncze punkty i nie odpowiadają dobrze rzeczywistej strukturze klas.

Metoda `complete` polega na braniu pod uwagę maksymalnej odległości pomiędzy punktami z różnych skupień. Dzięki temu uzyskane skupienia są wyraźnie bardziej zwarte, jednorodne i lepiej odseparowane od siebie, co można zobaczyć zarówno na dendrogramach, jak i na wykresach MDS. Gałęzie na dendrogramie są bardziej zwarte, a na wykresach grupy są lepiej oddzielone i bardziej jednorodne pod względem przypisania do rzeczywistych klas. Choć także w przypadku tej metody nie uzyskuje się idealnego pokrycia klastrów z rzeczywistymi klasami, to jednak podział jest zdecydowanie bardziej zgodny z rzeczywistą strukturą zbioru `wine`.

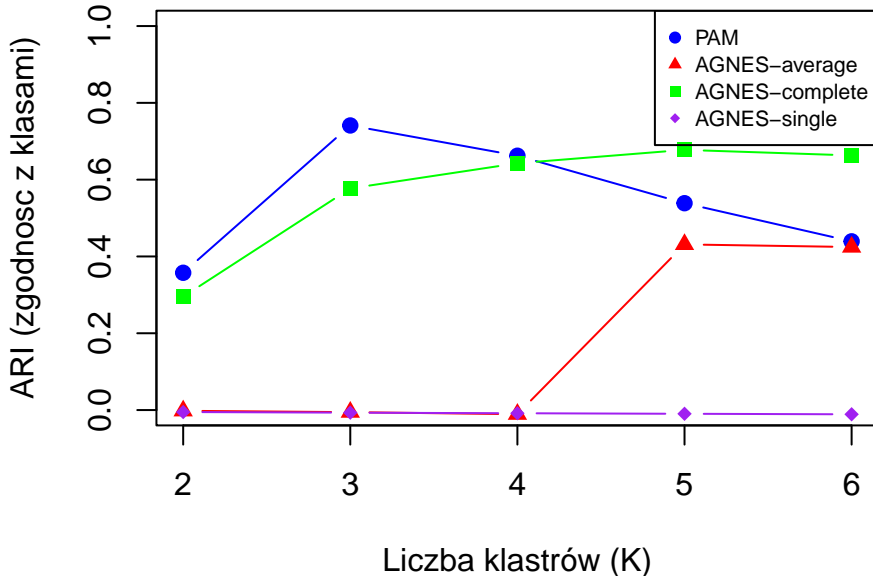
2.6 Ocena jakości grupowania

2.6.1 Wskaźniki wewnętrzne



Rysunek 7: Wartość silhouette dla PAM i AGNES

2.6.2 Wskaźniki zewnętrzne



Rysunek 8: Zgodność grupowania z klasami

Na podstawie przedstawionych wykresów można stwierdzić, że najlepsze rezultaty grupowania dla zbioru danych `wine` uzyskano, stosując algorytm PAM lub algorytm AGNES z metodą complete.

W przypadku wskaźnika silhouette Rysunek 7, który mierzy zwartość i separację skupień, najwyższe wartości osiągnięto dla algorytmu PAM przy liczbie klastrów równej 3. Wartość silhouette dla pozostałych metod jest niższa niezależnie od liczby klastrów, co świadczy o mniejszej czytelności i zwartości otrzymanych podziałów.

Drugim istotnym wskaźnikiem jest ARI (Adjusted Rand Index), który przedstawia zgodność grupowania z rzeczywistym podziałem na klasy Rysunek 8. Najwyższe wartości ARI obserwowane są dla PAM oraz AGNES complete przy odpowiednio liczbie klastrów 3 dla PAM oraz 5 dla AGNES, co oznacza, że te algorytmy najlepiej odwzorowują rzeczywistą strukturę danych. W szczególności algorytm PAM osiąga bardzo wysoką wartość ARI przy 3, a metoda AGNES complete daje rezultaty tylko nieznacznie gorsze. Metody AGNES average i AGNES single charakteryzują się bardzo niską zgodnością niezależnie od przyjętego K i nie odwzorowują poprawnie rzeczywistego podziału na klasy.

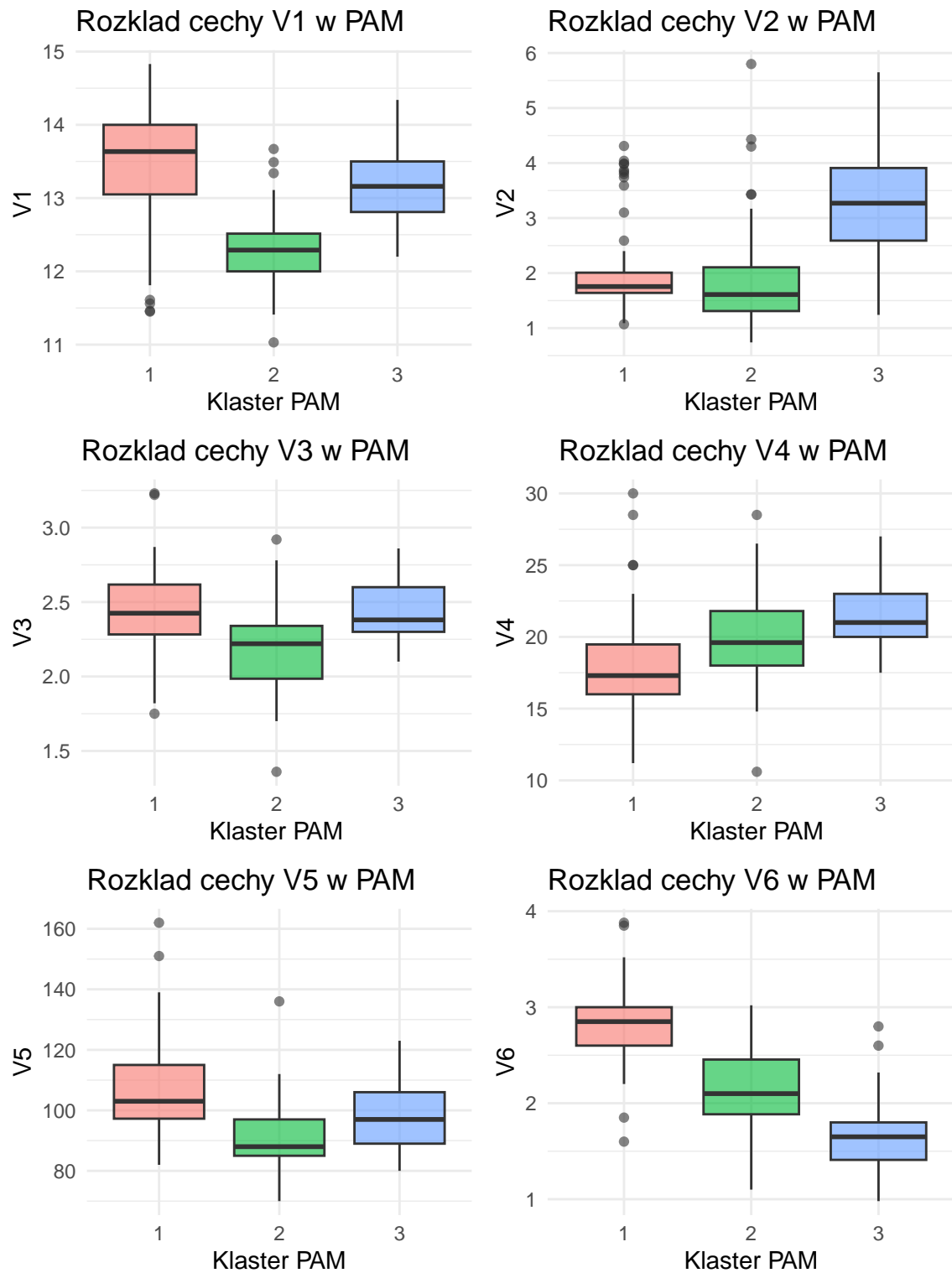
2.7 Interpretacja wyników grupowania

Tabela 10: Średnie wartości cech w klastrach PAM (K=3)

Klaster	V1	V2	V3	V4	V5	V6	V7	V8	V9	V10	V11	V12	V13
1	13	2	2	18	107	3	3	0	2	5	1	3	1018
2	12	2	2	20	91	2	2	0	1	3	1	3	489
3	13	3	2	21	99	2	1	0	1	7	1	2	628

Tabela 11: Średnie wartości cech w klastrach AGNES-complete (K=3)

Klaster	V1	V2	V3	V4	V5	V6	V7	V8	V9	V10	V11	V12	V13
1	13	2	2	17	105	3	3	0	2	5	1	3	985
2	12	2	2	21	94	2	2	0	2	3	1	3	573
3	13	3	2	21	99	2	1	0	1	7	1	2	622



Rysunek 9: Rozkłady cech V1-V6 w klastrach (PAM)

Na podstawie wskaźników oceny jakości grupowania ustalono, że optymalną liczbą skupień w analizowanym zbiorze wine jest 3, a najlepsze rezultaty uzyskano stosując algorytm PAM.

Analizując średnie wartości cech dla poszczególnych klastrów (tabela 10 dla PAM oraz tabela 11 dla AGNES), można zauważać, że każda z wyodrębnionych grup istotnie różni się pod względem przynajmniej kilku zmiennych opisujących próbki wina. Przykładowo:

- Klaster 1 w obu metodach charakteryzuje się wyższymi średnimi wartościami cech V1, V3, V4 oraz V5, co może świadczyć o wyższej zawartości danego składnika lub intensywności konkretnej właściwości produktu w tym skupieniu.
- Klaster 2 wyróżnia się relatywnie niższymi wartościami większości cech, zwłaszcza V1, V3, V5 i V13, co potwierdzają zarówno zestawienia średnich, jak i wykresy pudełkowe. Na wykresach wyraźnie widać, że obiekty w tym klastrze mają niższe wartości np. dla cech V1 i V5.
- Klaster 3 prezentuje natomiast nieco wyższe wartości cech V1, V4 i V13 w porównaniu do klastra 2, lecz niższe niż klaster 1, co świadczy o pośrednim “profilu” tej grupy.

Wykresy pudełkowe dla cech V1–V6 pozwalają jeszcze lepiej zobrazować te różnice, zaobserwować można wyraźne oddzielenie rozkładów poszczególnych cech dla różnych klastrów, zwłaszcza pod względem poziomu i rozrzutu wartości, co potwierdza trafność dokonanego podziału i sugestię, że skupienia są pod względem tych parametrów wewnętrznie jednorodne, a zróżnicowane między sobą.

Tabela 12: Obiekty-medoidy w PAM wraz z wartościami cech

	V1	V2	V3	V4	V5	V6	V7	V8	V9	V10	V11	V12	V13	Cluster_PAM
36	13	2	2	20	100	3	3	0	2	5	1	3	920	1
107	12	2	2	19	80	2	2	0	2	3	1	3	510	2
149	13	3	2	22	92	2	1	0	1	8	1	2	650	3

W przypadku metody PAM istotnym elementem interpretacji jest identyfikacja medoidów, czyli najbardziej reprezentatywnych obserwacji dla każdego klastra (tabela 12). Dla każdej z trzech grup wskazano konkretny obiekt, który najlepiej odzwierciedla typowy profil cech danej grupy. Analizując wartości cech tych medoidów, można zobaczyć, że:

- Medoid klastra 1 charakteryzuje się najwyższymi wartościami cech V1, V5 i V13, co jest spójne z ogólną charakterystyką tego skupienia i potwierdza obecność w tej grupie “najbogatszych” pod względem tych cech win.
- Medoid klastra 2 odznacza się najniższymi wartościami większości cech, przede wszystkim V5 i V13, co czyni go typowym reprezentantem grupy mniej “intensywnej” kompozycyjnie.
- Medoid klastra 3 prezentuje wartości pośrednie z wyraźnie podwyższoną cechą V4 i relatywnie wysokim V13.

2.8 Podsumowanie

Podsumowując, przeprowadzona analiza pozwala uznać, że zarówno algorytm PAM, jak i AGNES z metodą complete skutecznie oddzieliły od siebie grupy próbek wina charakteryzujące się różnym poziomem wybranych cech chemicznych. Jednocześnie, wskazane medoidy w metodzie PAM dobrze reprezentują typowe właściwości swoich klastrów i dodatkowo ułatwiają interpretację, pozwalając wskazać “wzorcowe” obserwacje, które stanowią punkt odniesienia dla danej grupy. Całość potwierdza wysoką spójność wewnętrzną oraz wyraźne zróżnicowanie między klastrami w wyselekcjonowanych wymiarach.